

Tm,Ho:BaY₂F₈ 晶体光谱性能与能量传递

李春¹ 张学建² 王成伟¹ 张莹¹ 董仲伟¹ Mauro Tonelli^{1,3} 刘景和^{*,1}

(¹长春理工大学材料科学与工程学院,长春 130022)

(²吉林建筑工程学院外事处,长春 130021)

(³NEST-CNR and Dipartimento di Fisica, Universita di Pisa, Largo B. Pontecorvo 3, 56127 Pisa, Italy)

摘要:采用提拉法,生长钬铥双掺氟化钇钡[分子式:Tm³⁺,Ho³⁺:BaY₂F₈,简称Tm,Ho:BYF]激光晶体。工艺参数:拉速0.5 mm·h⁻¹,转速5 r·min⁻¹,冷却速率10 °C·h⁻¹。XRD表明:属于单斜晶系,空间群C12/m1。计算出晶格参数:a=0.699 73 nm,b=1.052 93 nm,c=0.427 84 nm,β=99.71°。测试了晶体的吸收及荧光光谱,同时计算了784 nm处吸收峰的半高宽、吸收系数及吸收截面,分别为3.2 nm,2.23 cm⁻¹,7.44×10⁻²¹ cm²。该吸收峰对应于Tm³⁺离子从基态³H₆到激发态³H₄的跃迁。Tm,Ho:BYF晶体在2.06 μm附近有很强的荧光发射峰,在该荧光峰的发射截面和荧光寿命分别为4.96×10⁻²¹ cm²,10.1 ms。Tm³⁺→Ho³⁺的正向、反向能量转换系数之比是10.4。

关键词:钬铥双掺氟化钇钡晶体;吸收光谱;荧光光谱;能量传递

中图分类号:O734.3; O782.5

文献标识码:A

文章编号:1001-4861(2011)01-0006-05

Spectral Properties and Energy Transfer of Tm,Ho:BaY₂F₈ Crystal

LI Chun¹ ZHANG Xue-Jian² WANG Cheng-Wei¹ ZHANG Ying¹

DONG Zhong-Wei¹ Mauro Tonelli^{1,3} LIU Jing-He^{*,1}

(¹School of Materials Science and Engineering, Changchun University of Science and Technology, Changchun 130022, China)

(²Office of Foreign Affairs, Jilin Architectural and Civil Engineering Institute, Changchun 130021, China)

(³NEST-CNR and Dipartimento di Fisica, Università di Pisa, Largo B. Pontecorvo 3, 56127 Pisa, Italy)

Abstract: Tm,Ho:BaY₂F₈ single crystal was grown by the Czochralski method for the first time. The optimal technical parameters obtained are as follows: the pulling rate is 0.5 mm·h⁻¹, the rotation rate is 5 r·min⁻¹, the cooling speed is 10 °C·h⁻¹. The result of XRD curve shows that as-grown Tm,Ho:BaY₂F₈ crystal belongs to the monoclinic system with scheelite-type structure and space group C12/m1. The cell parameters calculated are $a=0.699\ 73\ nm$, $b=1.052\ 93\ nm$, $c=0.427\ 84\ nm$, $\beta=99.71^\circ$. The absorption and fluorescence spectra of the Tm,Ho:BaY₂F₈ crystal were measured, and FWHM, absorption coefficient, absorption cross-section were calculated lying in the 784 nm region, 3.2 nm, 2.26 cm⁻¹ and $7.44\times10^{-21}\ cm^2$, respectively. Transition from the ³H₆ ground state to ³H₄ excited state with Tm³⁺. There are three intensive fluorescence emission peak near 2.06 μm, the emission cross-section and fluorescence lift time $4.96\times10^{-21}\ cm^2$ and 10.1 ms, respectively. The ratio between the Tm-Ho transfer and its back-transfer process is 10.4.

Key words: Tm,Ho:BaY₂F₈ crystal; absorption spectrum; fluorescence spectrum; energy transfer

收稿日期:2010-08-10。收修改稿日期:2010-09-10。

高等学校博士学科点专项科研基金(No.20060186003);中国兵器支撑项目(No.62301020201);吉林省科技厅国际合作项目(No.20090709)资助。

*通讯联系人。E-mail:liu_jinghe@yahoo.com.cn,Tel:0431-85583177

随着大功率 InGaAs 二极管激光器(LD)发展,2 μm 波段激光受到人们的重视,广泛应用于医疗、环境检测、激光雷达、光电干扰、遥感、光通讯和测距等领域^[1-3]。同时,它还是获得 3~5 μm 波段光学参量振荡器的激光输出的理想泵浦源^[4]。

在 Tm、Ho 双掺的激光晶体材料中,基于 Tm:³H₄→³H₅^[5-7] 和 Ho:⁵I₇→⁵I₈^[8-9],而吸引了很多研究人员的兴趣。研究表明:Ho:⁵I₇→⁵I₈ 比 Tm:³H₄→³H₅ 显示了更大的增益。但是 Ho³⁺没有一个吸收峰是与有效的激光端面泵浦源相匹配。在室温条件下, Ho、Tm 双掺激光晶体的 2 μm 激光发射是基于 Ho:⁵I₇→⁵I₈,并且作为敏化离子的 Tm³⁺通过能量振动的方式传给 Ho³⁺的亚稳态^[10-14]。

Tm,Ho:BaY₂F₈(Tm,Ho:BYF)激光晶体作为新型近红外波段激光晶体材料,具有荧光寿命长、阈值低、增益大、效率高、热效应小等优点^[15],可实现 2 μm 高效激光输出,既降低了激光振荡阈值,又提高了输出效率。

本文采用提拉法,生长 Tm,Ho:BYF 激光晶体。测试了光谱性能,计算了吸收截面、发射截面和 Tm³⁺离子与 Ho³⁺离子之间的能量传递系数。

1 实验部分

1.1 晶体生长

原料纯度:99.999%(5N)的 BaF₂、YF₃、TmF₃、HoF₃。TmF₃浓度为 5.2at%,HoF₃浓度为 0.5at%。用电子天平按照 $n_{\text{BaF}_2}:n_{\text{YF}_3}=1:2$ 称取原料。混料 24 h,用坩埚装混合料置于电阻炉中,将炉体温度升至 500 ℃,并通入无水 HF,在高温下恒温 2 h,去除其中的水和氧气,待炉体冷却至室温,通入大量高纯氮气,最后得到无水氟化物原料。

采用中频感应提拉法,生长 Tm,Ho:BYF 晶体。晶体生长主要设备:提拉式单晶炉,φ 70 mm×40 mm 铂金坩埚。采用气动压力机压料,抽真空至 10⁻³ Pa,升温至 700 ℃,恒温 12 h,通入 5N 的氩气。选用优质 b 轴取向 BYF 晶体做籽晶,生长参数:升温速率 30 ℃·h⁻¹,拉速 0.5 mm·h⁻¹,转速 5 r·min⁻¹,熔化温度 959 ℃,控制凸界面生长,降温速率 10 ℃·h⁻¹,晶体生长通过引晶、缩颈、放肩、等径、收尾及降温工艺。生长周期约 5 d。

1.2 测 试

采用日本理学 D/MAX-II B 型 X 射线衍射仪对晶体进行物相结构分析。采用 Cu 钮 Kα₁ 线,用弯曲

石墨晶体单色器滤波,工作电流 20 mA,电压 40 kV,扫描速度 4°·min⁻¹,步长 0.02°。

采用日本岛津公司 UV-3101(PC)型紫外分光光度计在 750~820 nm 和 1 400~2 100 nm 范围内测定了晶体的吸收光谱,分辨率为 0.1 nm,波长准确度为±0.3 nm,光度测量准确度为±0.002 Abs。

采用 CARY500 分光光度计,室温下测量了晶体在 1 600~2 150 nm 的荧光光谱。波长精度:±0.1 nm,分辨率:<0.05 nm。

2 结果与讨论

2.1 XRD 分析

Tm,Ho:BYF 晶体粉末的 XRD 图见图 1。与文献^[16-17]相比较,说明已经生长出 Tm,Ho:BYF 晶体,该晶体属于单斜晶系,空间群 C12/m1。由单斜晶系的晶格参数计算公式(1)计算出晶格参数: $a=0.699\ 73\ \text{nm}$, $b=1.052\ 93\ \text{nm}$, $c=0.427\ 84\ \text{nm}$, $\beta=99.71^\circ$, $Z=2$ 。在 Tm,Ho:BYF 激光晶体中,Tm³⁺和 Ho³⁺离子取代少量的 Y³⁺离子,导致晶体发生晶格微小畸变。

$$d=\frac{ABC\sin\beta}{\sqrt{A^2B^2+B^2C^2+A^2C^2\sin^2\beta-2AB^2C\cos\beta}} \quad (1)$$

式中, $A,B,C:(hkl)$ 晶面族离原点最近的晶面在 a,b,c 轴的截距: $A=a/h$, $B=b/k$, $C=c/l$ 。

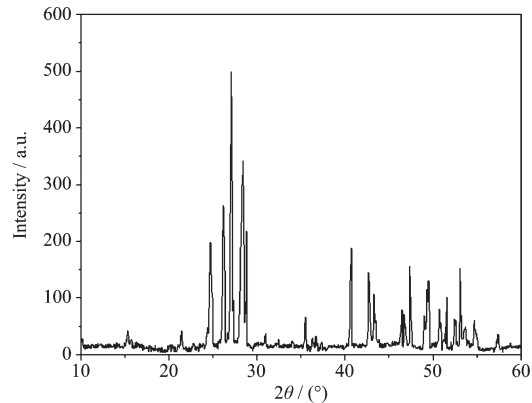


图 1 Tm,Ho:BYF 晶体的 XRD 图

Fig.1 Powder XRD pattern of Tm,Ho:BYF crystal

2.2 吸收光谱分析

在室温下,分别测试了 Tm,Ho:BYF 晶体在 750~820 nm 和 1 400~2 100 nm 范围的吸收光谱,如图 2 和 3 所示。从图 2 中可以看出,光谱中有 3 个吸收峰,峰值分别为 774、784.4 和 794.6 nm。中心波长分别位于 784.4 nm 处,这个吸收峰对应于 Tm³⁺离子能级图上从基态³H₆到激发态³H₄的跃迁,半高宽为 3.2 nm,在此波段内, Ho³⁺离子没有明显的吸收,因

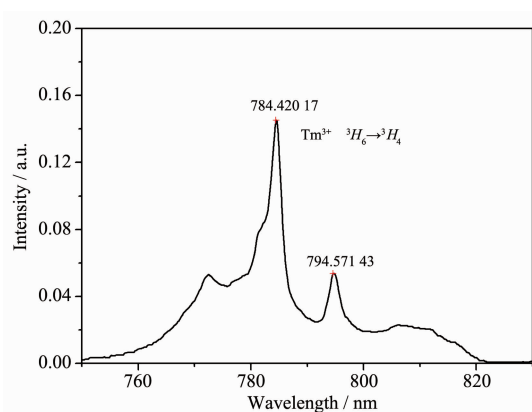


图 2 晶体在 750~830 nm 的吸收光谱

Fig.2 Absorption spectrum of crystal at 750~830 nm

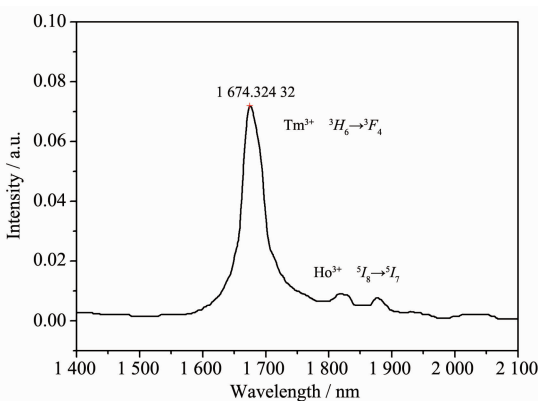


图 3 晶体在 1400~2100 nm 的吸收光谱

Fig.3 Absorption spectrum of crystal at 1400~2100 nm

此, Ho^{3+} 离子的吸收可以忽略不计。通过吸收光谱, Tm^{3+} 的吸收系数可由下式计算:

$$\alpha = \frac{\ln(\frac{I_0}{I})}{L} = \frac{2.303 \text{OD}}{L} \quad (2)$$

式中, I_0 和 I : 入射光和透射光的强度, OD: 光密度, L: 样品的厚度(单位: cm), 吸收截面 σ_a 与吸收系数的关系式为:

$$\sigma_a = \frac{\alpha}{N_0} \quad (3)$$

式中, N_0 : 单位体积内离子掺杂数(单位: cm^{-3})。

利用(2)和(3)式, $N_0 = 2.997 \times 10^{20} \text{ cm}^{-3}$, $L = 0.15 \text{ cm}$, 经过计算, 晶体在 784.4 nm 波长处的吸收系数为 2.23 cm^{-1} , 吸收截面为 $7.44 \times 10^{-21} \text{ cm}^2$ 。较大的吸收系数和吸收截面能充分吸收泵浦光, 提高泵浦光的转换效率, 有利于实现激光二极管泵浦。

图 3 中有 3 个吸收峰, 峰值分别为 1 674.3, 1 818.7 和 1 876.9 nm, 在 1 674.3 nm 处, 对应于 Tm^{3+} 离子在基态 $^3\text{H}_6$ 到激发态 $^3\text{F}_4$ 的跃迁, 半高宽为 33.4

nm。在 1 818.7 nm 和 1 876.9 nm 处, Ho^{3+} 离子有较弱的吸收, 在能级图上对应于 Ho^{3+} 离子在基态 $^5\text{I}_8$ 到激发态 $^5\text{I}_7$ 的跃迁。

2.3 荧光光谱分析及能量传递

室温下, 在 780 nm LD 激发下, 1 600~2 150 nm 波长范围的荧光光谱见图 4。可以看出, 在这个波段范围内, 当吸收 780 nm 波长的光辐射后, Tm^{3+} 离子由基态 $^3\text{H}_6$ 跃迁到激发态 $^3\text{H}_4$ 能级, 再通过 $^3\text{H}_4 \rightarrow ^3\text{F}_4$ 辐射跃迁和 $^3\text{H}_4 + ^3\text{H}_6 \rightarrow ^3\text{F}_4 + ^3\text{F}_4$ 交叉驰豫过程到达 $^3\text{F}_4$ 能级, 粒子在该能级向基态 $^3\text{H}_6$ 的跃迁产生 1.84 μm 的荧光发射, 半高宽 25.3 nm。

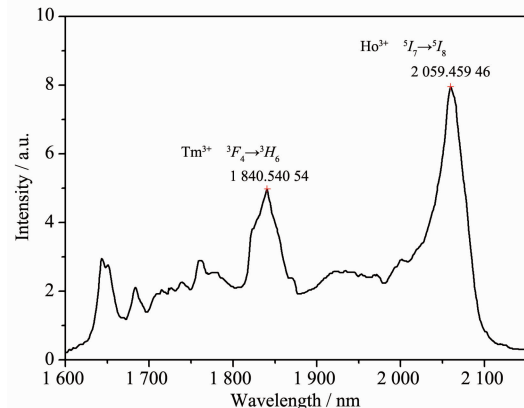


图 4 Tm, Ho: BYF 晶体的荧光光谱

Fig.4 Photoluminescence spectrum of Tm, Ho: BYF crystal

在吸收光谱中, Ho^{3+} 离子对抽运光没有明显的吸收, 因此, Ho^{3+} 离子在 2 μm 波段的荧光发射主要是由于 Ho^{3+} 离子与 Tm^{3+} 离子之间的能量传递, 在吸收 780 nm 的光辐射后, Tm^{3+} 离子 $^3\text{H}_6$ 能级向 $^3\text{H}_4$ 能级跃迁, 离子从 $^3\text{H}_4$ 能级向 $^3\text{F}_4$ 能级辐射, 同时, Tm^{3+} 离子的 $^3\text{H}_6$ 能级激发跃迁到 $^3\text{F}_4$ 能级, 因此, Tm^{3+} 离子 $^3\text{F}_4$ 能级集居 2 个粒子能量, 由于 Tm^{3+} 离子 $^3\text{F}_4$ 能级与 Ho^{3+} 离子 $^5\text{I}_7$ 能级很接近, Tm^{3+} 离子 $^3\text{F}_4$ 能级的粒子与 Ho^{3+} 离子 $^5\text{I}_7$ 能级粒子发生交叉驰豫, 然后通过能量共振转移, 该过程是可逆的, Tm^{3+} 离子 $^3\text{F}_4$ 能级与 Ho^{3+} 离子 $^5\text{I}_7$ 能级将达到动态平衡^[18-19]。 Ho^{3+} 离子 $^5\text{I}_7$ 能级粒子受激向基态 $^5\text{I}_8$ 能级辐射, 便产生了 2.06 μm 荧光发射。2.06 μm 荧光发射消耗了部分 Ho^{3+} 离子 $^5\text{I}_7$ 能级粒子, 破坏了 Tm^{3+} 离子 $^3\text{F}_4$ 能级与 Ho^{3+} 离子 $^5\text{I}_7$ 能级的动态平衡, 使 Tm^{3+} 离子 $^3\text{F}_4$ 能级粒子能量向 Ho^{3+} 离子 $^5\text{I}_7$ 能级共振转移。图 5 为 Tm-Ho 离子能量传递图。由于 Tm^{3+} 离子和 Ho^{3+} 离子能量的转移, 有利于实现 2 μm 波段的激光输出, 因此 Tm, Ho: BYF 晶体有望成为一种新型的适合 LD 抽运的近红外激光材料。

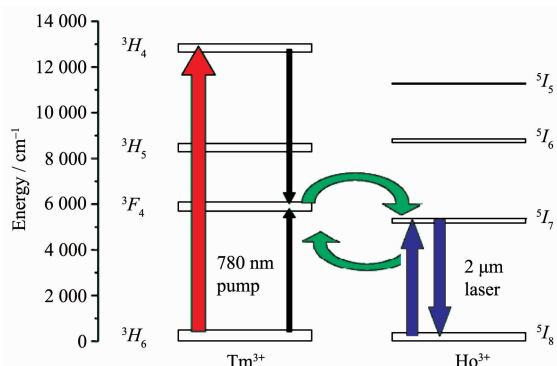


图5 Tm,Ho:BYF激光晶体中Tm³⁺和Ho³⁺离子能级图
Fig.5 Energy levels of Tm³⁺ and Ho³⁺ in Tm,Ho:BYF laser crystal

在10 K到300 K范围内,测试了Ho³⁺离子⁵I₇→⁵I₈跃迁时的衰减曲线,如图6所示。寿命从10 K的12.5 ms减小到室温下的10.1 ms。测得晶体中的衰减时间略低于文献中^[20]的数值,但相差不大,与陈敢新等^[21]的结果相比较,寿命较高,利用荧光寿命数值,结合式(4)可以计算荧光发射截面。

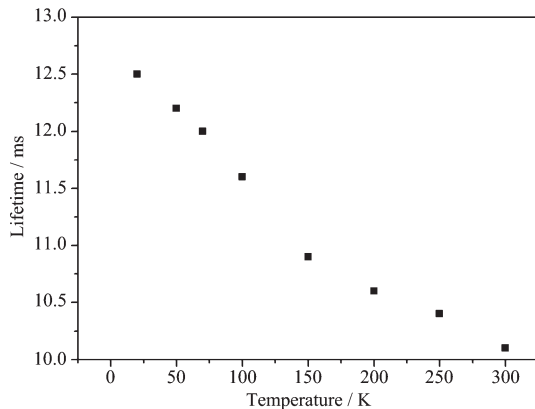


图6 ⁵I₇荧光寿命曲线
Fig.6 ⁵I₇ lifetime curve

晶体的荧光发射截面可由下式计算^[22]:

$$\sigma_{\text{em}}(\lambda)=\frac{\lambda^5 \eta I(\lambda)}{8\pi n^2 c \tau \int \lambda I(\lambda) d\lambda} \quad (4)$$

式 λ :谱线中心波长(nm), n :晶体的折射率, η :量子效率, c :光速, τ :荧光寿命, $I(\lambda)$:荧光光谱中波长 λ 处的发射强度,根据测量的荧光光谱,结合公式(4),可以计算出Tm,Ho:BYF晶体在某一波长的荧光发射截面。通过式(4),计算出在2.06 μm处,受激发射截面 $\sigma_{\text{em}}=4.96 \times 10^{-21} \text{ cm}^2$,半高宽38.4 nm。

根据上述分析,Tm³⁺和Ho³⁺离子之间存在一定的能量传递关系,而能量转换系数能精确地描述Tm³⁺离子和Ho³⁺离子之间的能量转换,Tm³⁺离子³F₄

能级向Ho³⁺离子⁵I₇能级正反能量传递系数,将直接影响晶体的出光效率。根据文献^[25]中的公式(5)和(6),可以计算Tm³⁺、Ho³⁺离子能量传递系数。

$$C_{\text{Tm},\text{Ho}}=\frac{9\chi^2 c}{16\pi n} \int \sigma_{\text{abs};X} \sigma_{\text{em};X} d\lambda \quad (5)$$

$$C_{\text{Ho},\text{Tm}}=C_{\text{Tm},\text{Ho}} \exp\left(\frac{E_{ZL;X}-E_{ZL;X}}{kT}\right) \quad (6)$$

式中 χ^2 :平均取向, c :光速, n :折射率, $\sigma_{\text{em};X}$ 和 $\sigma_{\text{abs};X}$: X 离子的发射和吸收截面, $E_{ZL;X}$: X 离子的零声子线。根据文献^[22]提供的数据。经过计算,Tm³⁺→Ho³⁺的正向能量转换系数 $C_{\text{Tm} \rightarrow \text{Ho}}=15.6 \times 10^{-40} \text{ cm}^6 \cdot \text{s}^{-1}$,Ho³⁺→Tm³⁺的反向能量转换系数 $C_{\text{Ho} \rightarrow \text{Tm}}=1.5 \times 10^{-40} \text{ cm}^6 \cdot \text{s}^{-1}$, $C_{\text{Tm} \rightarrow \text{Ho}}/C_{\text{Ho} \rightarrow \text{Tm}}=10.4$,结果与文献比较,见表1,BYF中的正向能量传递较大, Ho³⁺→Tm³⁺反向能量转换很小,因此,Tm,Ho:BYF晶体是一种可实现2 μm激光输出的高效的激光材料。

表1 BYF和其他激光晶体中Tm³⁺→Ho³⁺能量转换系数

Table 1 Tm³⁺→Ho energy transfer coefficients for BYF and other laser crystals

Crystal	$C_{\text{Tm} \rightarrow \text{Ho}} / (10^{-40} \text{ cm}^6 \cdot \text{s}^{-1})$	$C_{\text{Ho} \rightarrow \text{Tm}} / (10^{-40} \text{ cm}^6 \cdot \text{s}^{-1})$	$C_{\text{Tm} \rightarrow \text{Ho}} / C_{\text{Ho} \rightarrow \text{Tm}}$	Ref.
BNN	36.54	4.1	8.9	[23]
CaSGG	24	1.2	20	[24]
YAG	10.9	1.1	9.5	[25]
YLF	16.9	1.2	13.6	[26]
BYF	15.6	1.5	10.4	This work

3 结论

采用提拉法生长Tm,Ho:BYF激光晶体。分析了晶体的物相结构,计算出晶格参数: $a=0.69973 \text{ nm}$, $b=1.05293 \text{ nm}$, $c=0.42784 \text{ nm}$, $\beta=99.71^\circ$, $Z=2$ 。Tm³⁺、Ho³⁺离子的掺入,引起晶格发生微小畸变。

晶体在784 nm波长处的吸收系数为 2.23 cm^{-1} ,吸收截面为 $7.44 \times 10^{-21} \text{ cm}^2$,由于Tm³⁺离子和Ho³⁺离子之间的能量传递,大的吸收系数和吸收截面增加了Ho³⁺离子在⁵I₇上的聚集,加大了Ho³⁺离子由⁵I₇向⁵I₈泵浦的几率,即提高了2 μm波段的激光输出的效率。

室温下,在780 nm LD激发下,波长在2.06 μm的受激发射截面为 $4.96 \times 10^{-21} \text{ cm}^2$,半高宽38.4 nm, Ho³⁺离子⁵I₇的荧光寿命10.1 ms, Ho³⁺→Tm³⁺正向能量转换系数 $15.6 \times 10^{-40} \text{ cm}^6 \cdot \text{s}^{-1}$,反向能量转换系数 $1.5 \times 10^{-40} \text{ cm}^6 \cdot \text{s}^{-1}$,Tm,Ho:BYF晶体是一种可实现

2 μm 激光输出的高效的激光材料。

参考文献:

- [1] Becker T, Huber G, Heide H J, et al. *Opt. Commun.*, **1990**, **80**:47-51
- [2] McFarlane R A. *Opt. Soc. Am. B*, **1994**, **11**:871-880
- [3] Sudesh V, Piper J A. *IEEE J. Quantum Electron.*, **2000**, **36**: 879-884
- [4] Bourdet G L, Lescroart G. *Appl. Opt.*, **1999**, **38**:3275-3281
- [5] Macfarlane R M. *J. Lumin.*, **2000**, **85**:181-186
- [6] So S, Mackenzie J I, Shepherd D P, et al. *Opt. Express*, **2006**, **14**:10481-10487
- [7] Li C, Song J, Shen D, et al. *Opt. Express*, **1999**, **4**:12-18
- [8] Lieto A D, Minguzzi P, Toncelli A, et al. *Appl. Phys. B*, **1994**, **58**:69-71
- [9] Choi H K, Turner G W, Eglash S J. *IEEE Photon. Technol. Lett.*, **1994**, **6**:7-9
- [10] Falconieri M, Lanzi A, Salvetti G, et al. *Opt. Mater.*, **1997**, **7**: 135-143
- [11] Barnes N P, Murray K E, Jani M G, et al. *J. Opt. Soc. Am. B*, **1994**, **11**:2422-2426
- [12] Bruneau D, Delmonte S, Pelon J. *Appl. Opt.*, **1998**, **37**:8406-8419
- [13] Walsh B M, Barnes N P, Bartolo B D. *J. Lumin.*, **2000**, **90**: 39-48
- [14] Falconieri M, Lanzi A, Salvetti G, et al. *Appl. Phys. B*, **1998**, **66**:153-162
- [15] Osiac E, Kuck S, Heumann E, et al. *Opt. Mater.*, **2003**, **24**: 537-545
- [16] ZHANG Shou-Chao(张守超), RUAN Yong-Feng(阮永丰), LI Guang-Hui(李广慧), et al. *J. Synth. Cryst. (Rengong Jingti Xuebao)*, **2007**, **36**(3):485-489
- [17] ZHANG Xian-Ming(张献明), SU Hai-Quan(苏海全), YE Ze-Ren(叶泽人), et al. *Chem. J. Chinese Universities(Gaodeng Xuexiao Huaxue Xuebao)*, **2001**, **22**(3):358-361
- [18] ZHANG Xin-Lu(张新陆), WANG Yue-Zhu(王月珠), YAO Bao-Quan(姚宝全), et al. *Chin. J. Lasers (Zhongguo Jiguang)*, **2004**, **31**(1):9-12
- [19] CHEN Gan-Xin(陈敢新), ZHANG Qin-Yuan(张勤远), ZHAO Chun(赵纯), et al. *Acta Phys. Sin. (Wuli Xuebao)*, **2010**, **59**(2):1321-1326
- [20] Cornacchia F, Sani E, Toncelli A, et al. *Appl. Phys. B*, **2002**, **75**:817-822
- [21] CHEN Gan-Xin(陈敢新), ZHANG Qin-Yuan(张勤远), YANG Gang-Feng(杨刚锋), et al. *Acta Phys. Sin. (Wuli Xuebao)*, **2007**, **56**(7):4200-4206
- [22] Cornacchia F, Lieto A D, Tonelli M. *Progr. Quantum Electron.*, **2009**, **33**:61-109
- [23] Bigotta S, Toncelli A, Tonelli M, et al. *Opt. Mater.*, **2007**, **30**: 129-131
- [24] Toncelli A, Tonelli M, Zannoni E, et al. *J. Lumin.*, **2001**, **92**: 237-244
- [25] Walsh B M, Barnes N P, Bartolo B D. *J. Lumin.*, **1997**, **75**: 89-98
- [26] Brenier A, Boulon G, Madej C, et al. *J. Lumin.*, **1993**, **54**: 271-277